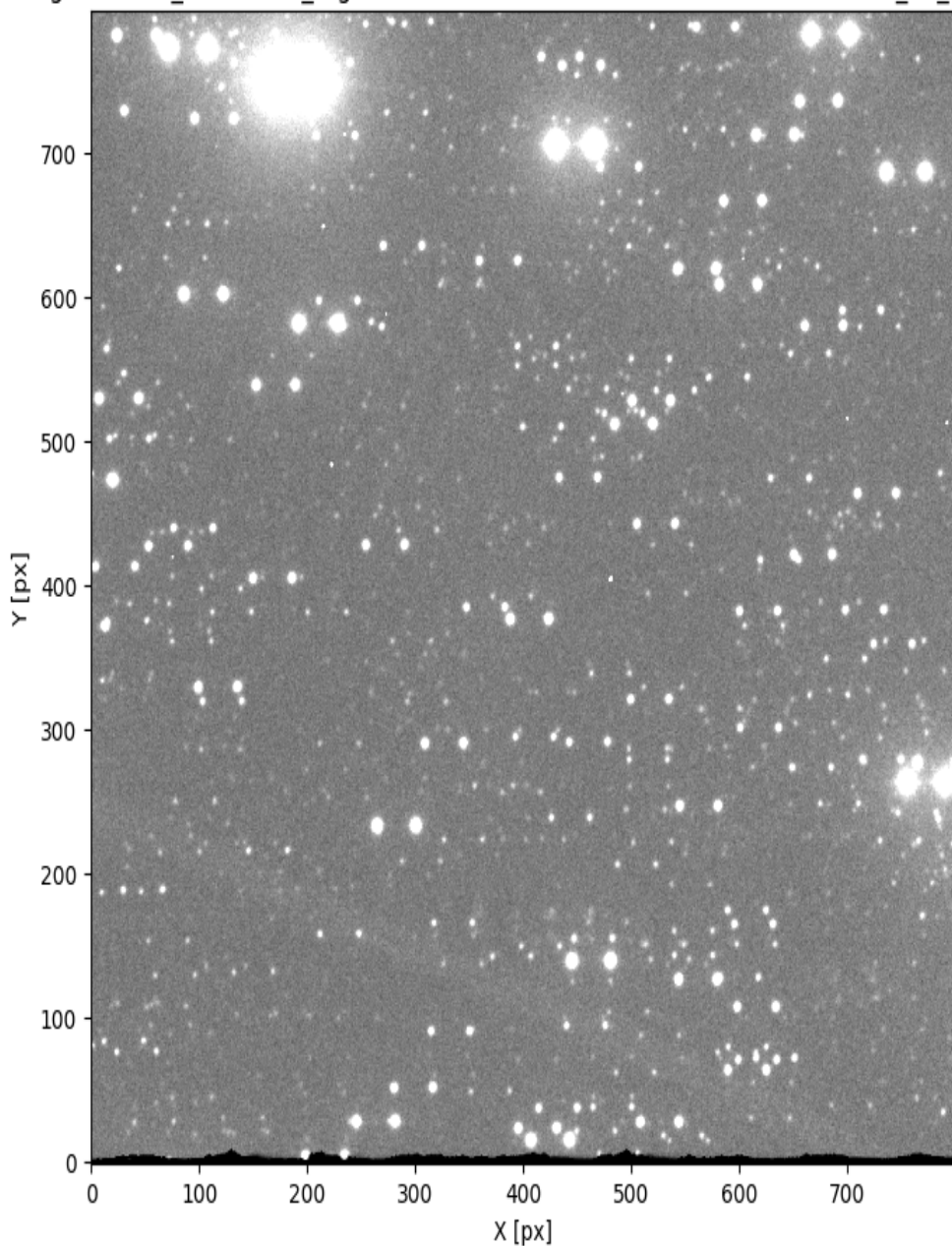
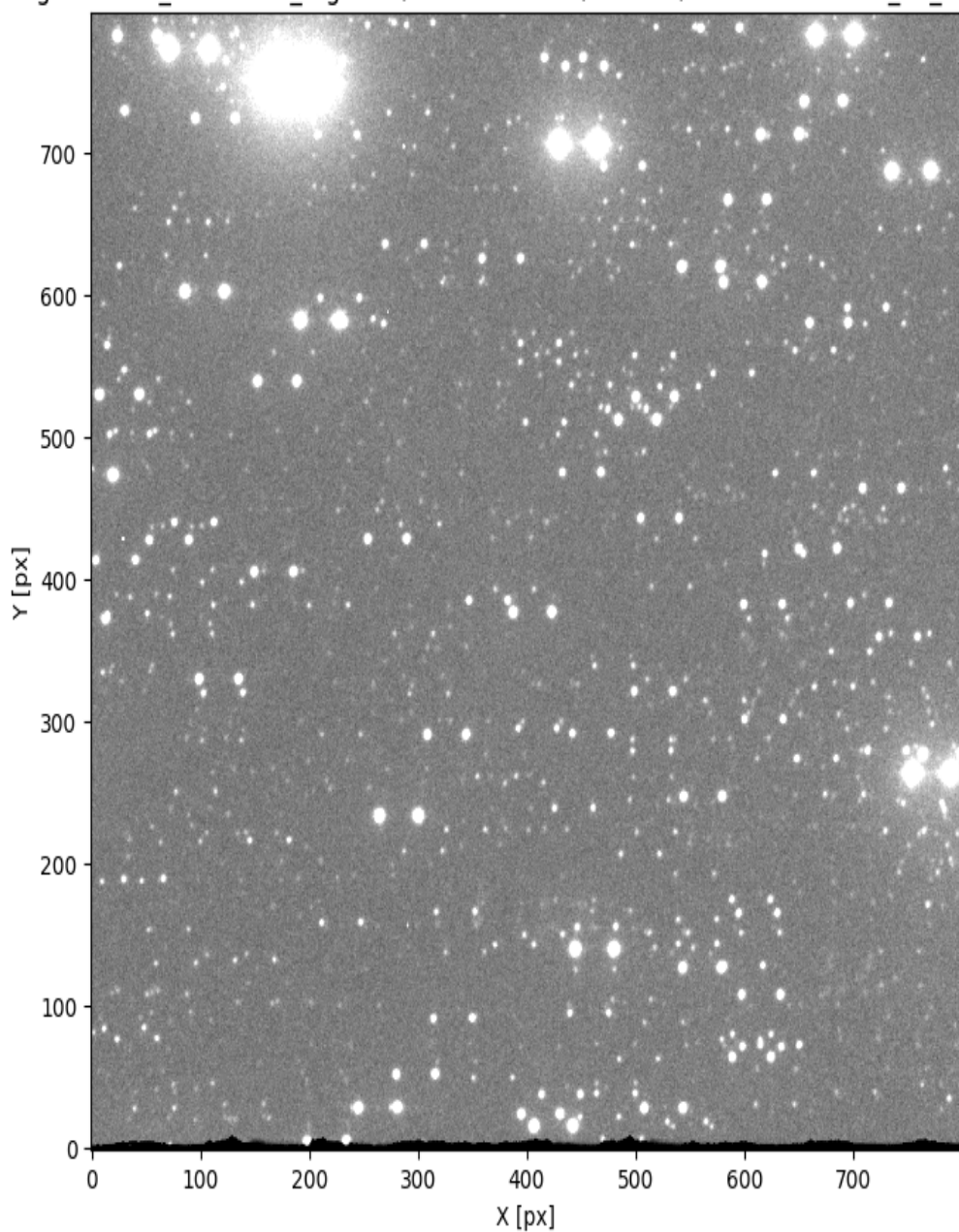


# 1. Imágenes originales

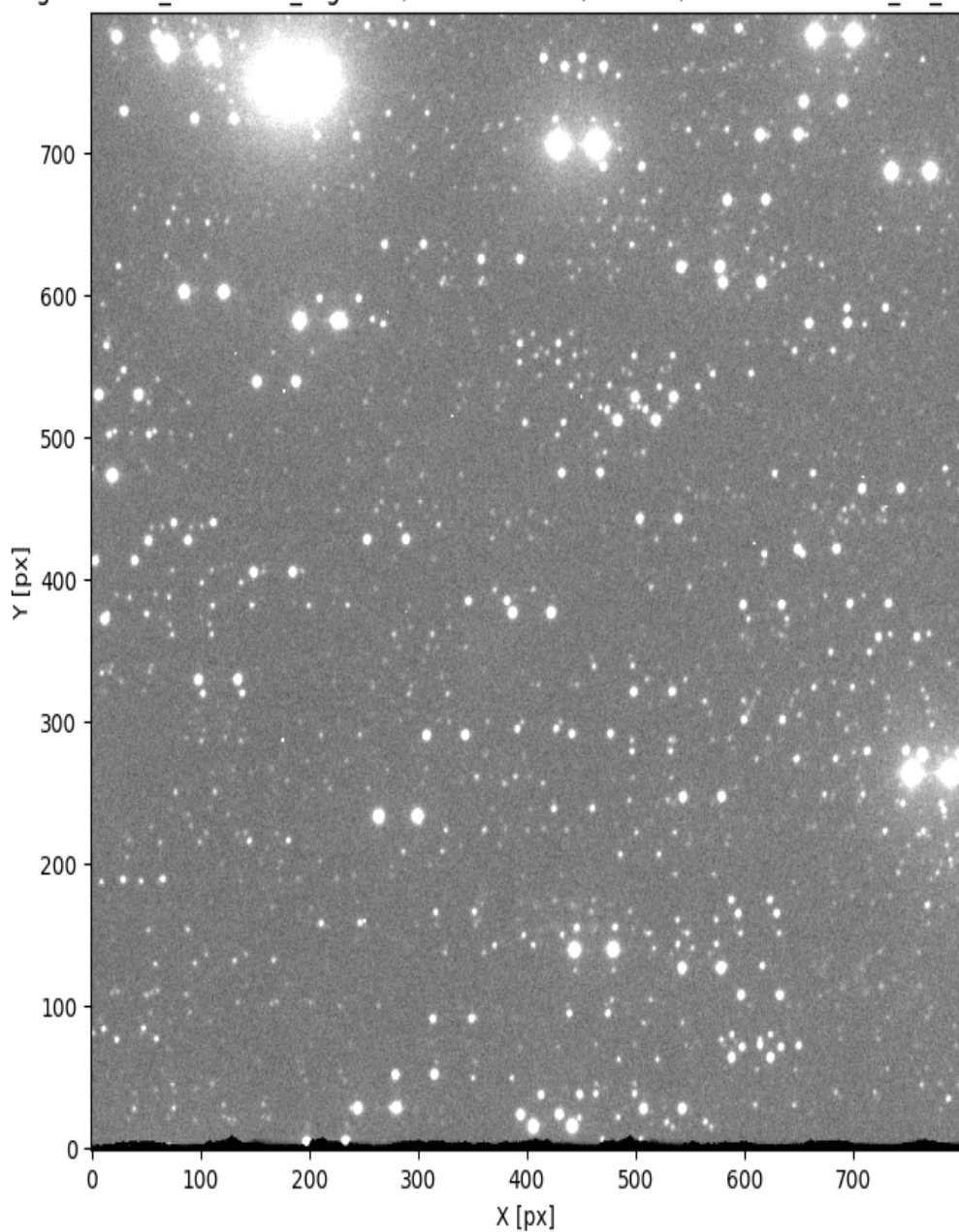
Reference Image noche1\_20230720\_organize/EXO2030+375/Bessell/caf-20230721-03\_44\_38-sci-blap\_b\_f.fits



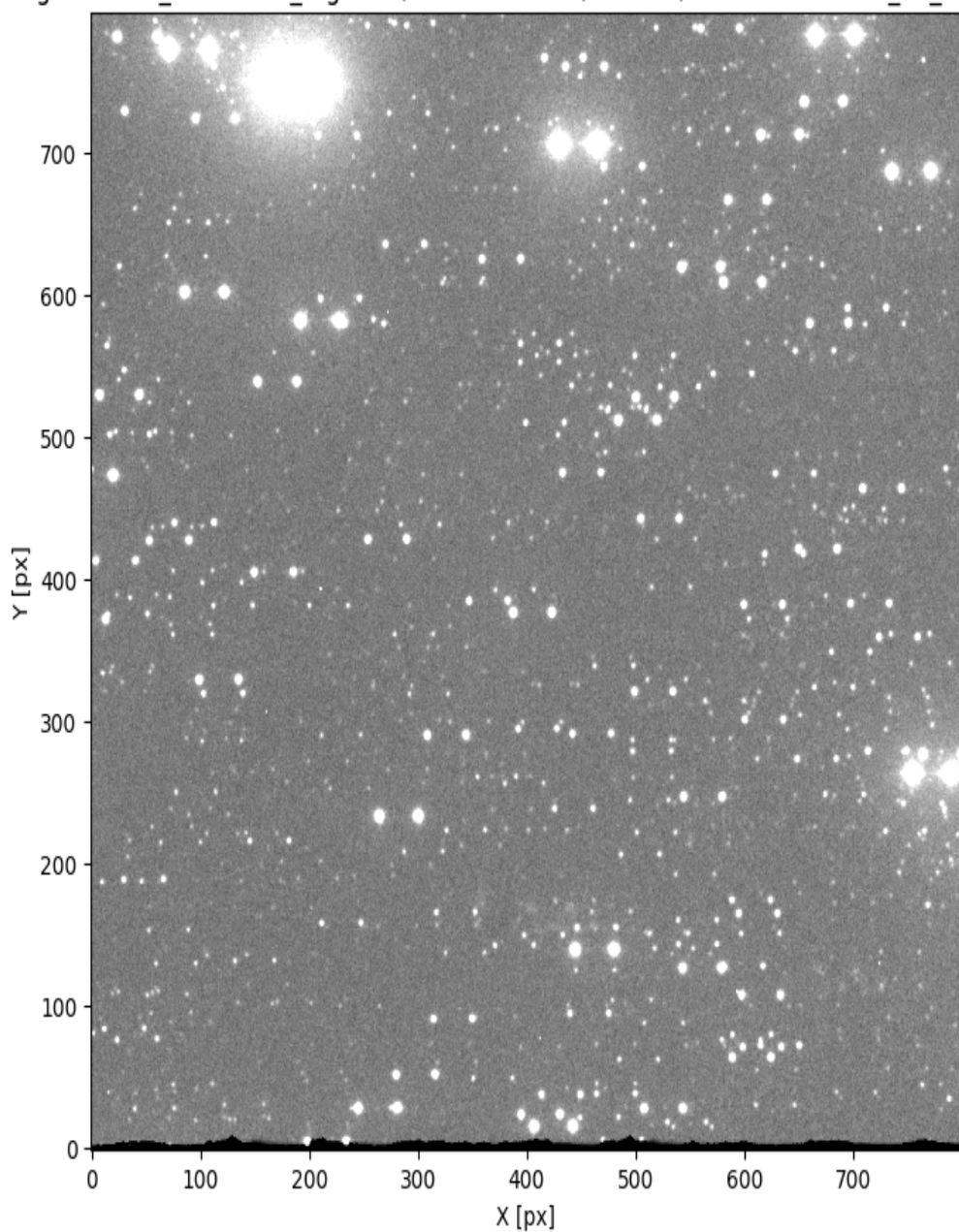
Original Image noche1\_20230720\_organize/EXO2030+375/Besselli/caf-20230721-03\_45\_38-sci-blap\_b\_f.fits



Original Image noche1\_20230720\_organize/EXO2030+375/Besselli/caf-20230721-03\_46\_38-sci-blap\_b\_f.fits

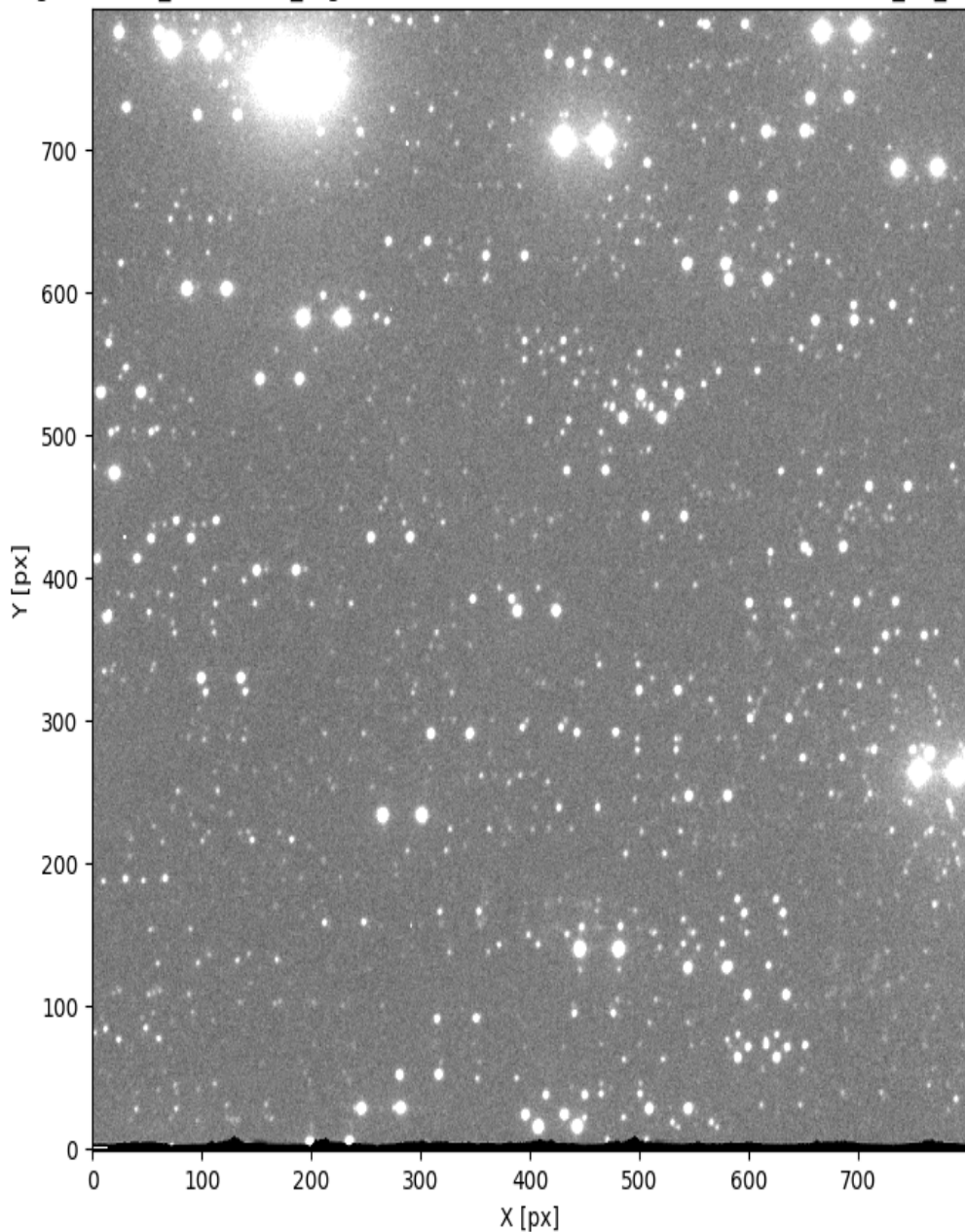


Original Image noche1\_20230720\_organize/EXO2030+375/Besselli/caf-20230721-03\_47\_37-sci-blap\_b\_f.fits

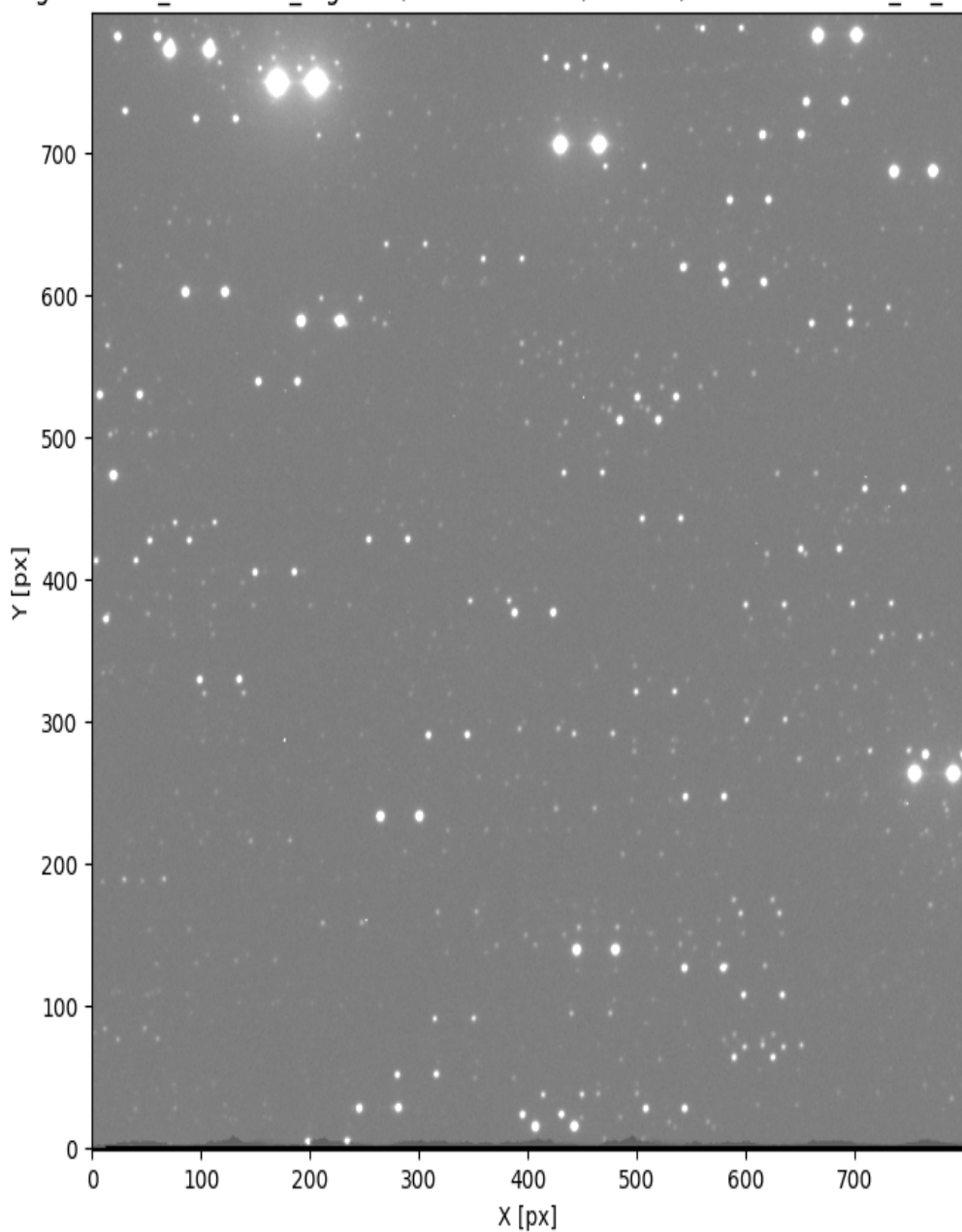


## 2. Imágenes alineadas

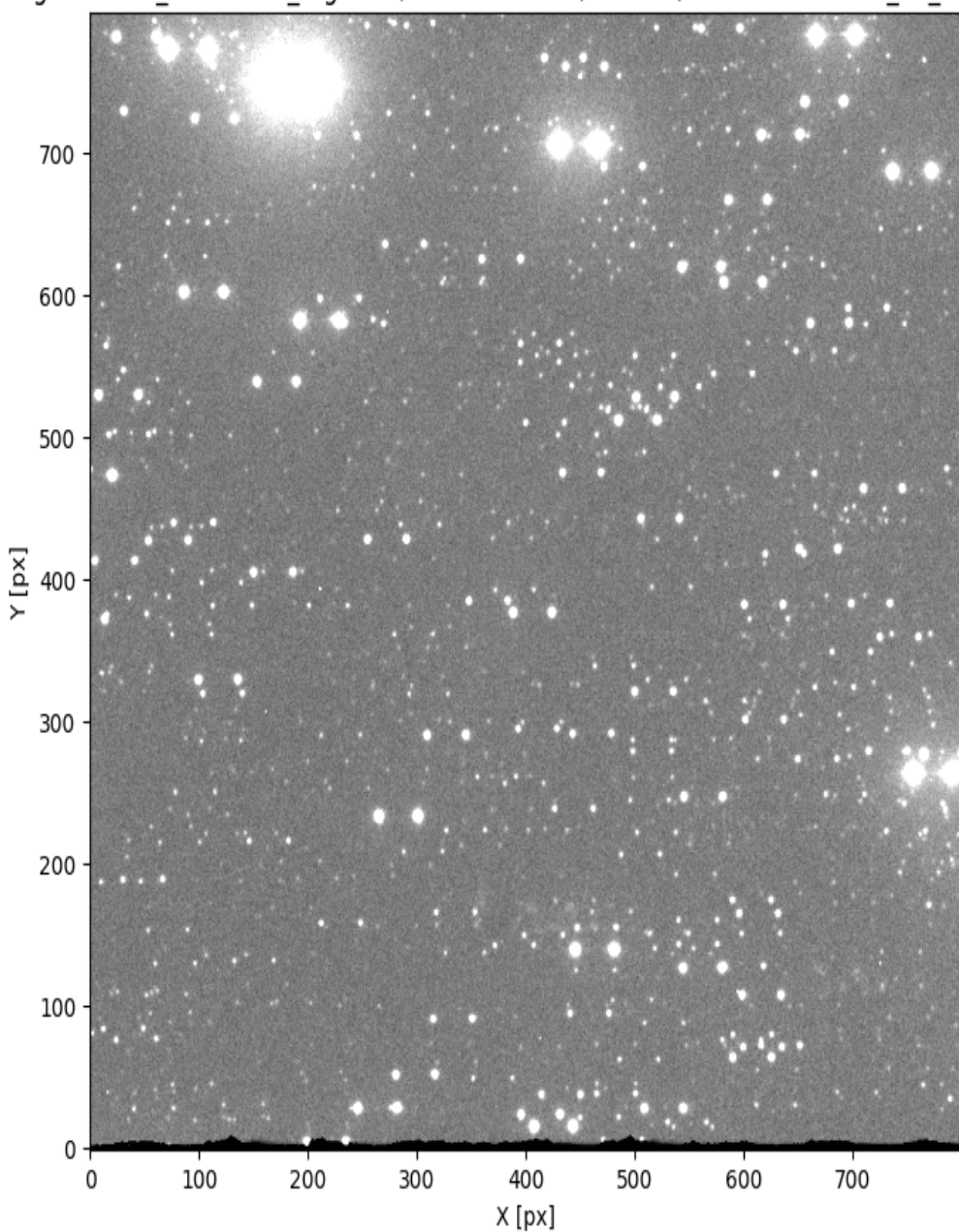
Aligned Image noche1\_20230720\_organize/EXO2030+375/Besselll/caf-20230721-03\_45\_38-sci-blap\_b\_f.fits



Aligned Image noche1\_20230720\_organize/EXO2030+375/Besselll/caf-20230721-03\_46\_38-sci-blap\_b\_f.fits

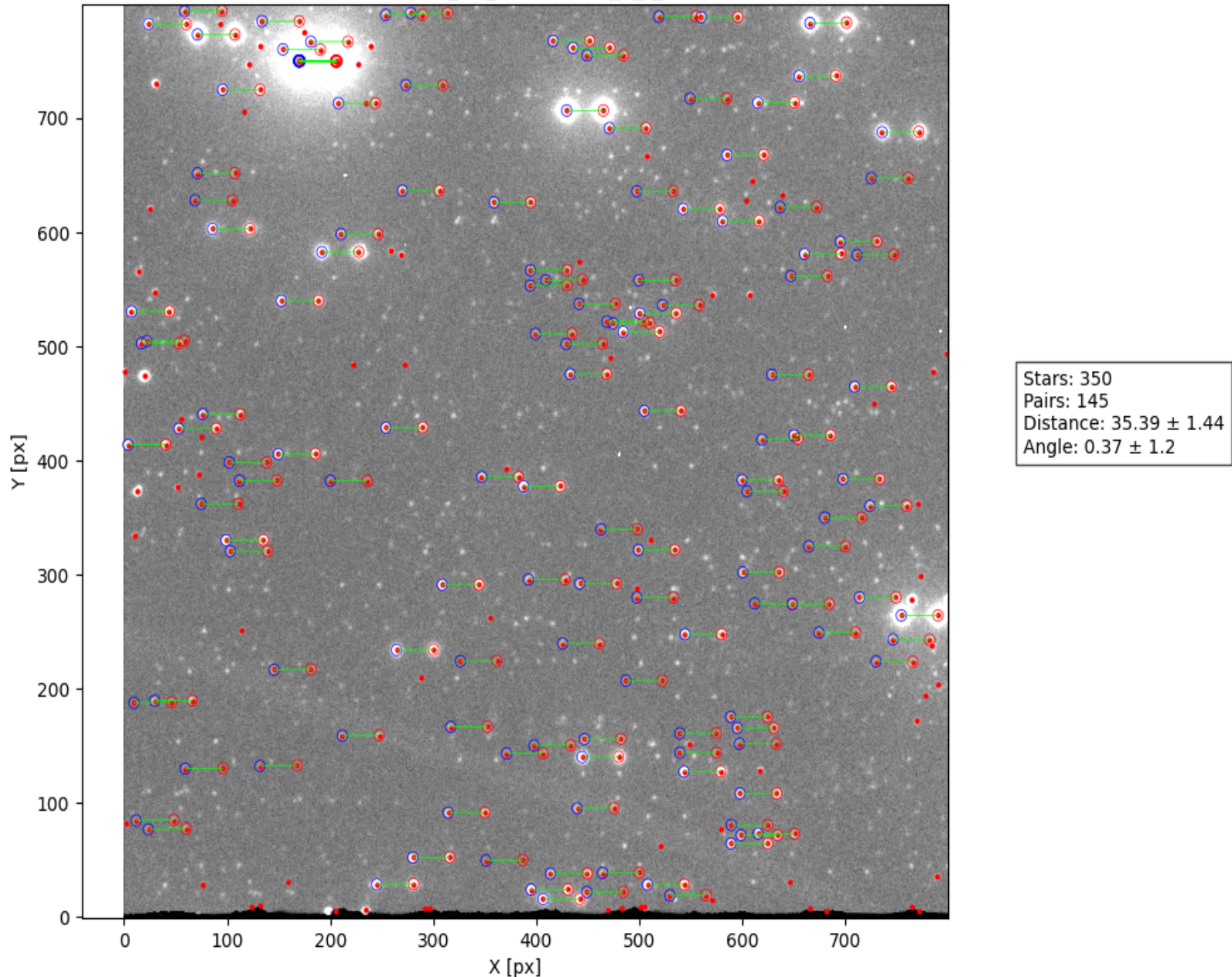


Aligned Image noche1\_20230720\_organize/EXO2030+375/Besselli/caf-20230721-03\_47\_37-sci-blap\_b\_f.fits

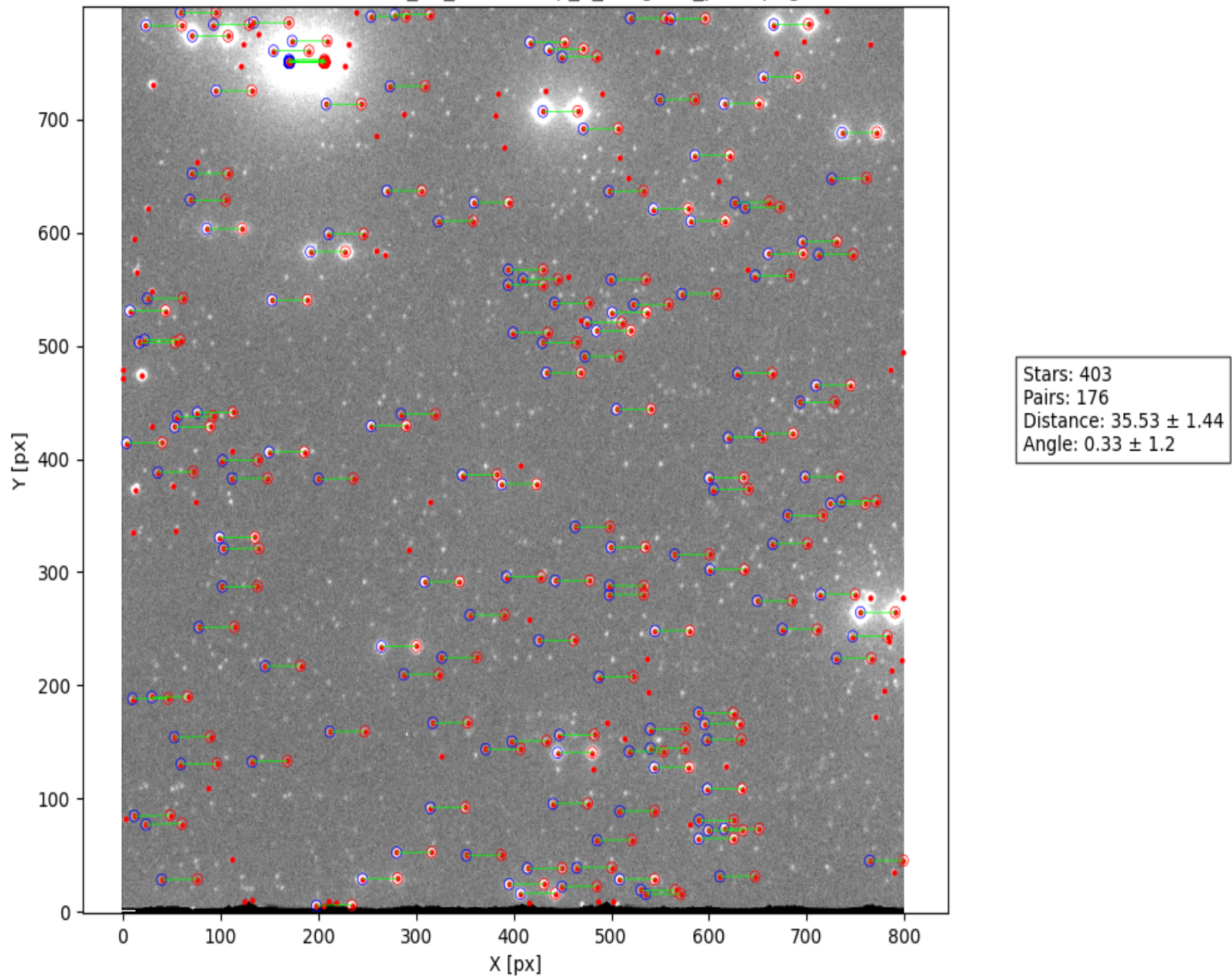


### 3. Imágenes con pares identificados

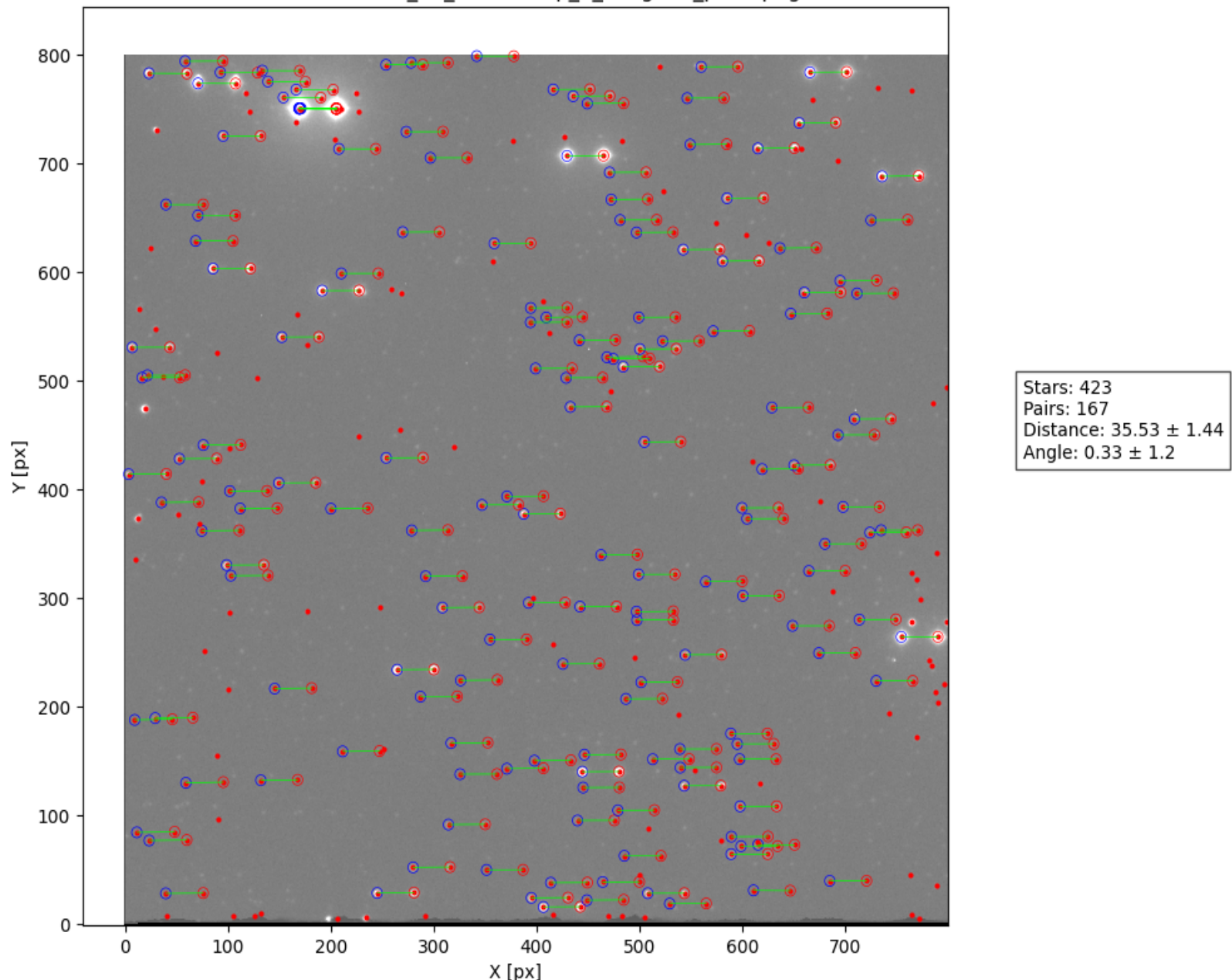
caf-20230721-03\_44\_38-sci-blap\_b\_f\_pairs.png



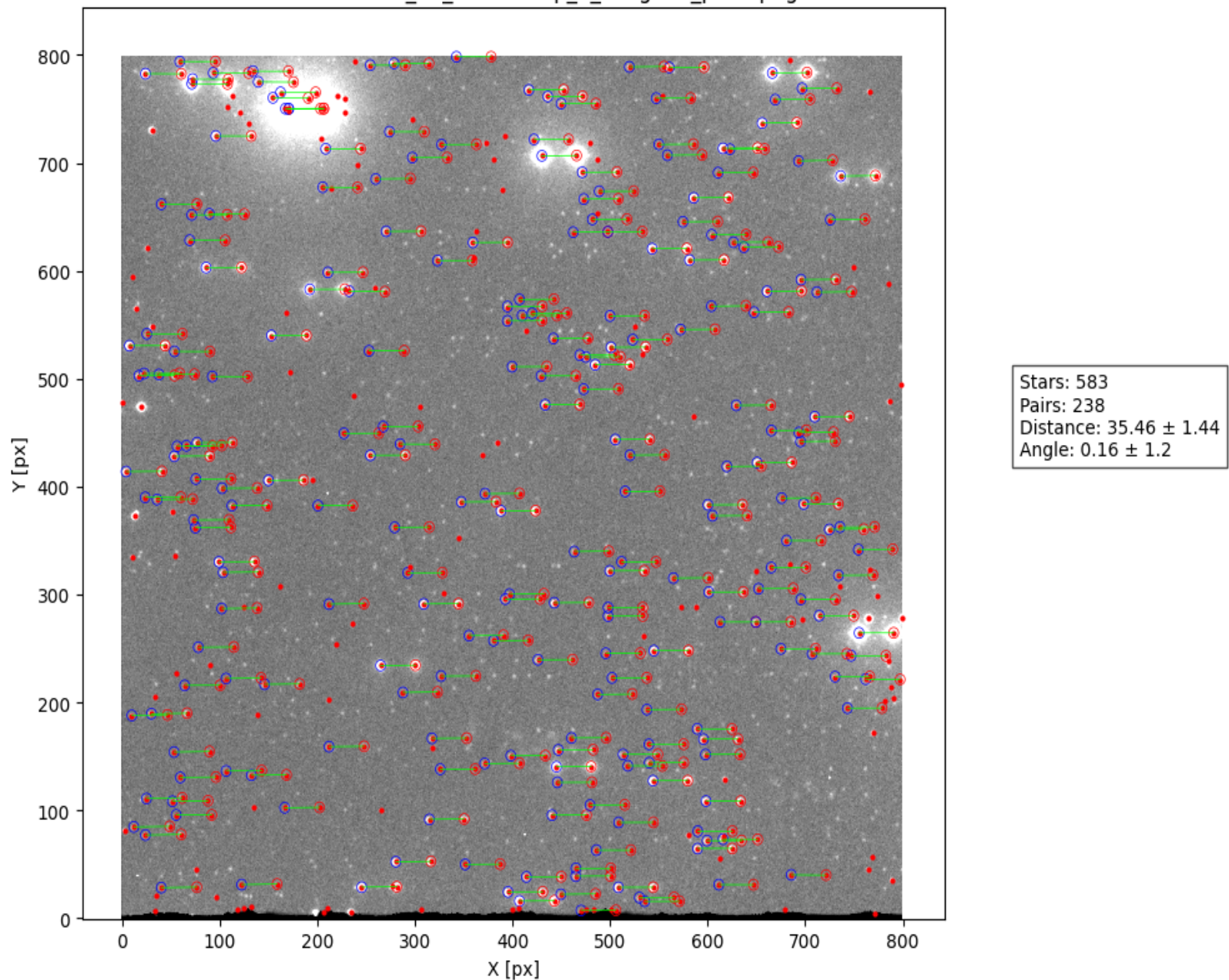
caf-20230721-03\_45\_38-sci-blap\_b\_f-aligned\_pairs.png



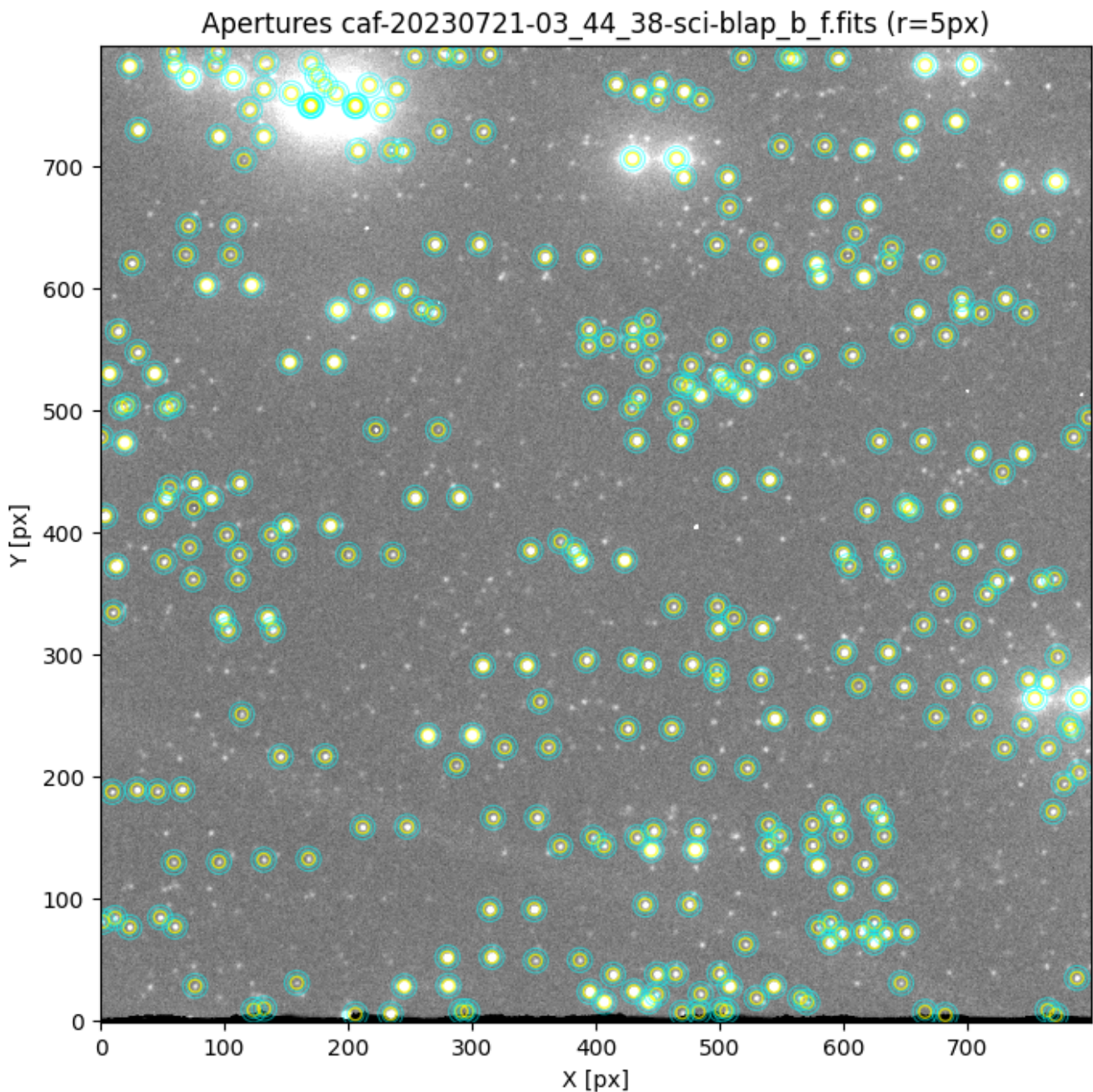
caf-20230721-03\_46\_38-sci-blap\_b\_f-aligned\_pairs.png



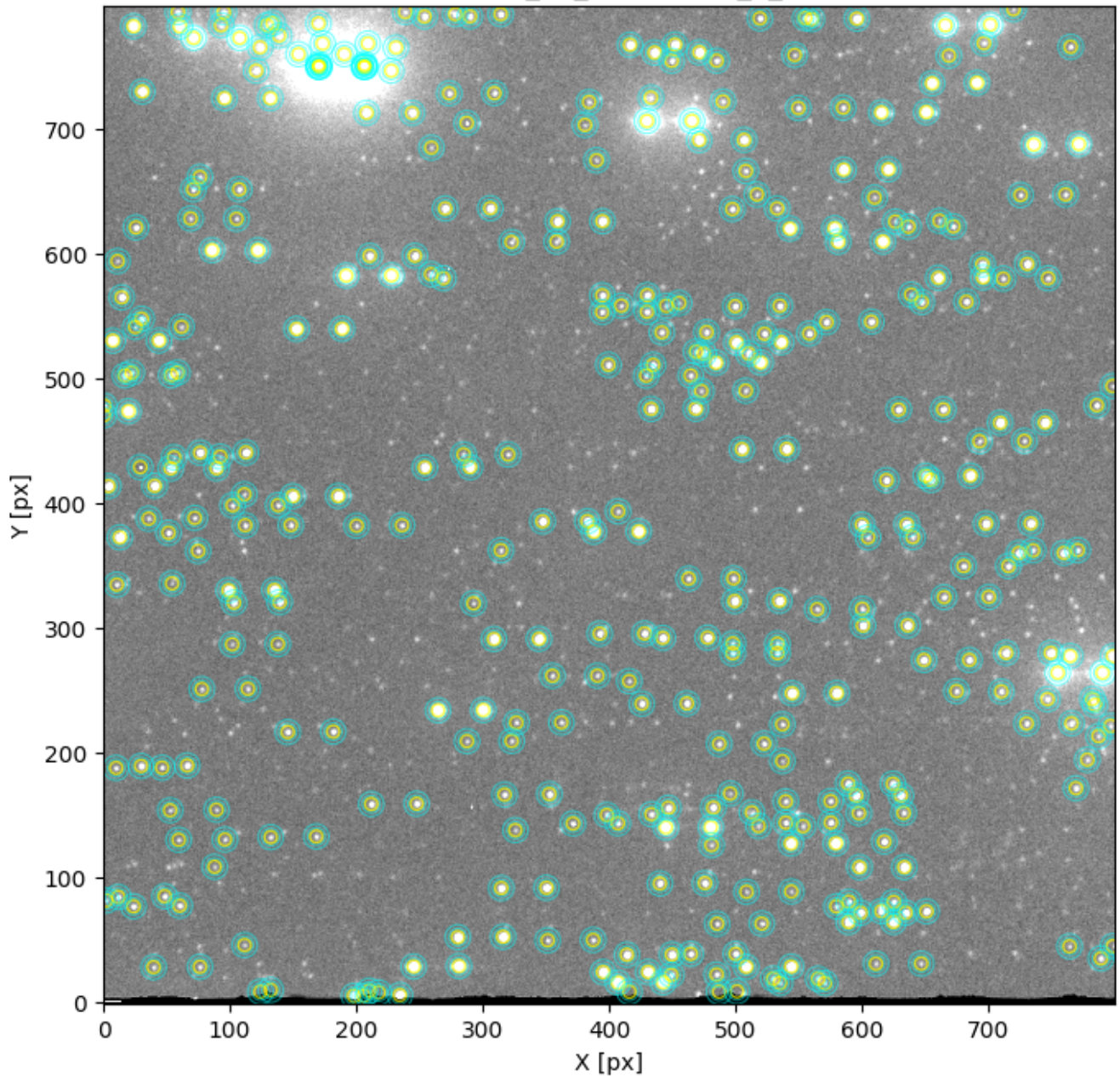
caf-20230721-03\_47\_37-sci-blap\_b\_f-aligned\_pairs.png



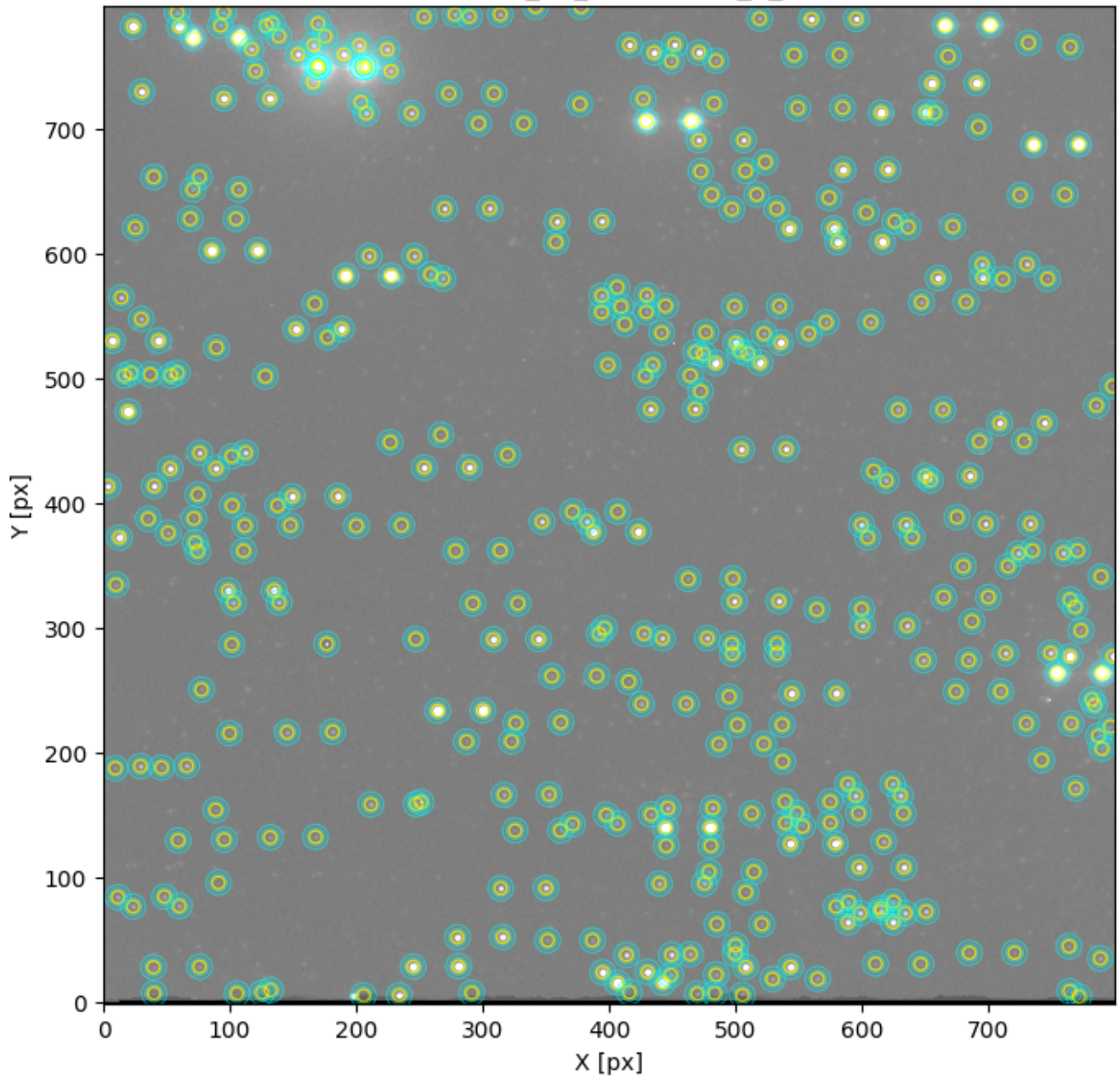
## 4. Fotometría — Aperturas



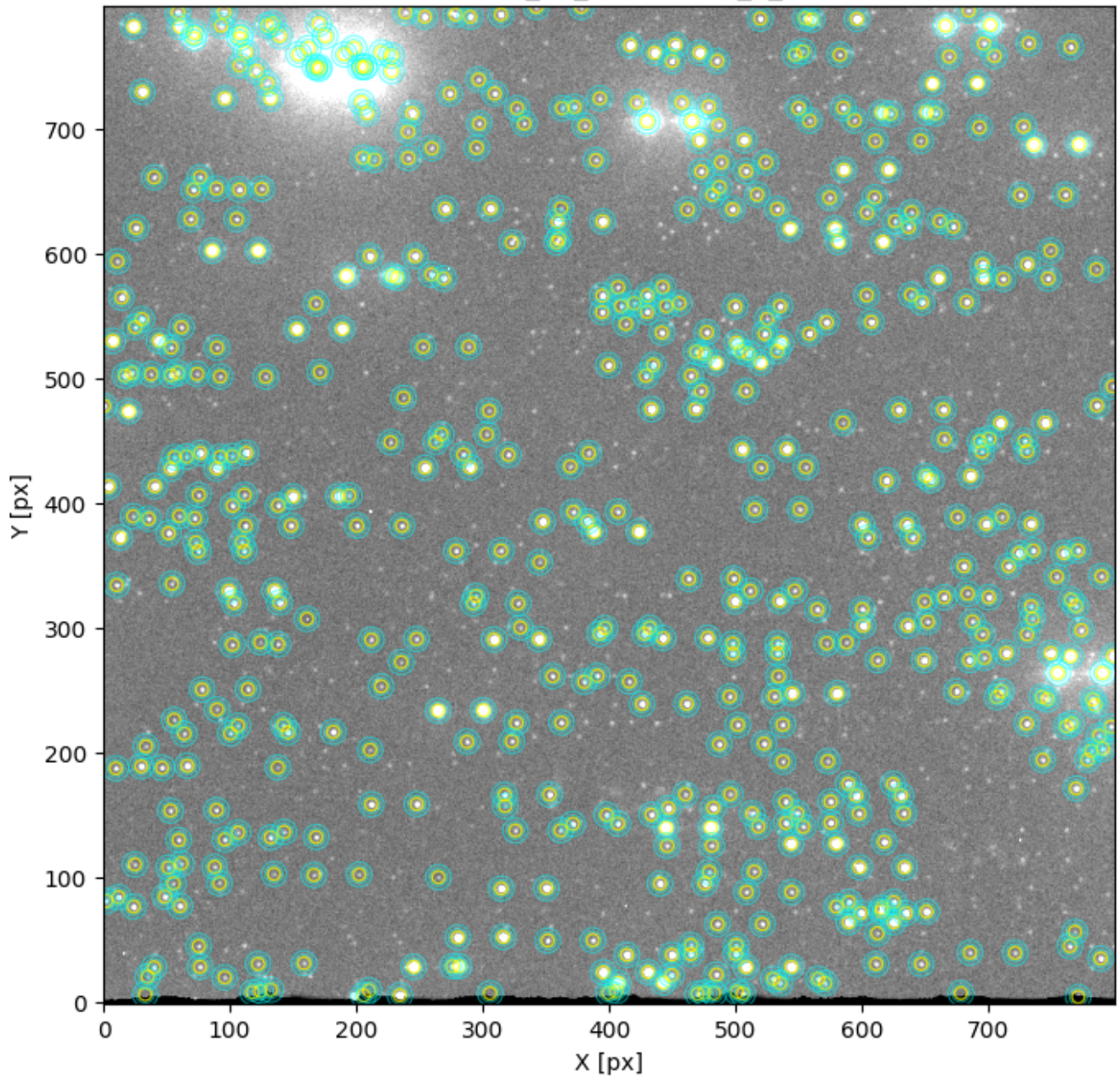
Apertures caf-20230721-03\_45\_38-sci-blap\_b\_f-aligned.fits (r=5px)



Apertures caf-20230721-03\_46\_38-sci-blap\_b\_f-aligned.fits (r=5px)

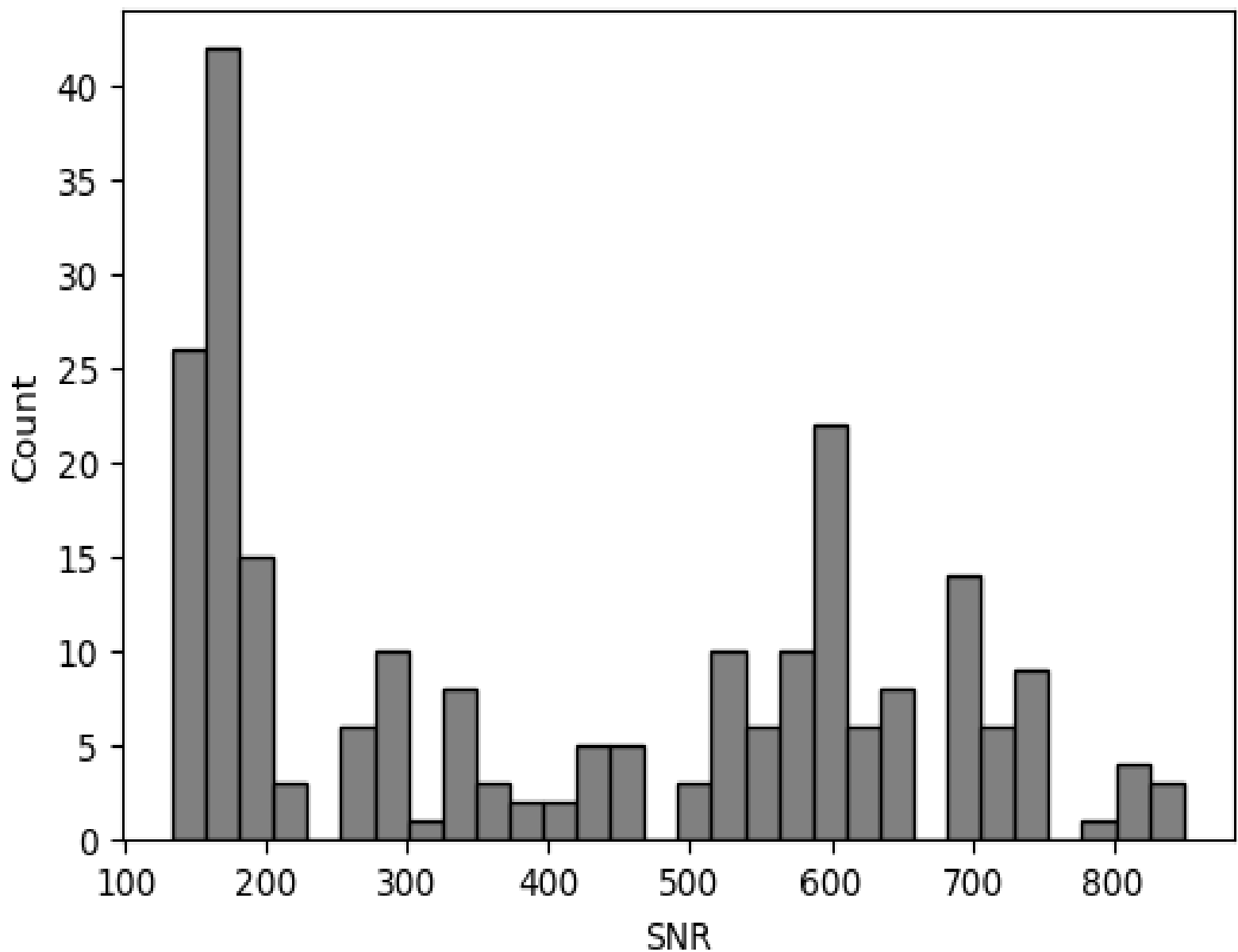


Apertures caf-20230721-03\_47\_37-sci-blap\_b\_f-aligned.fits (r=5px)

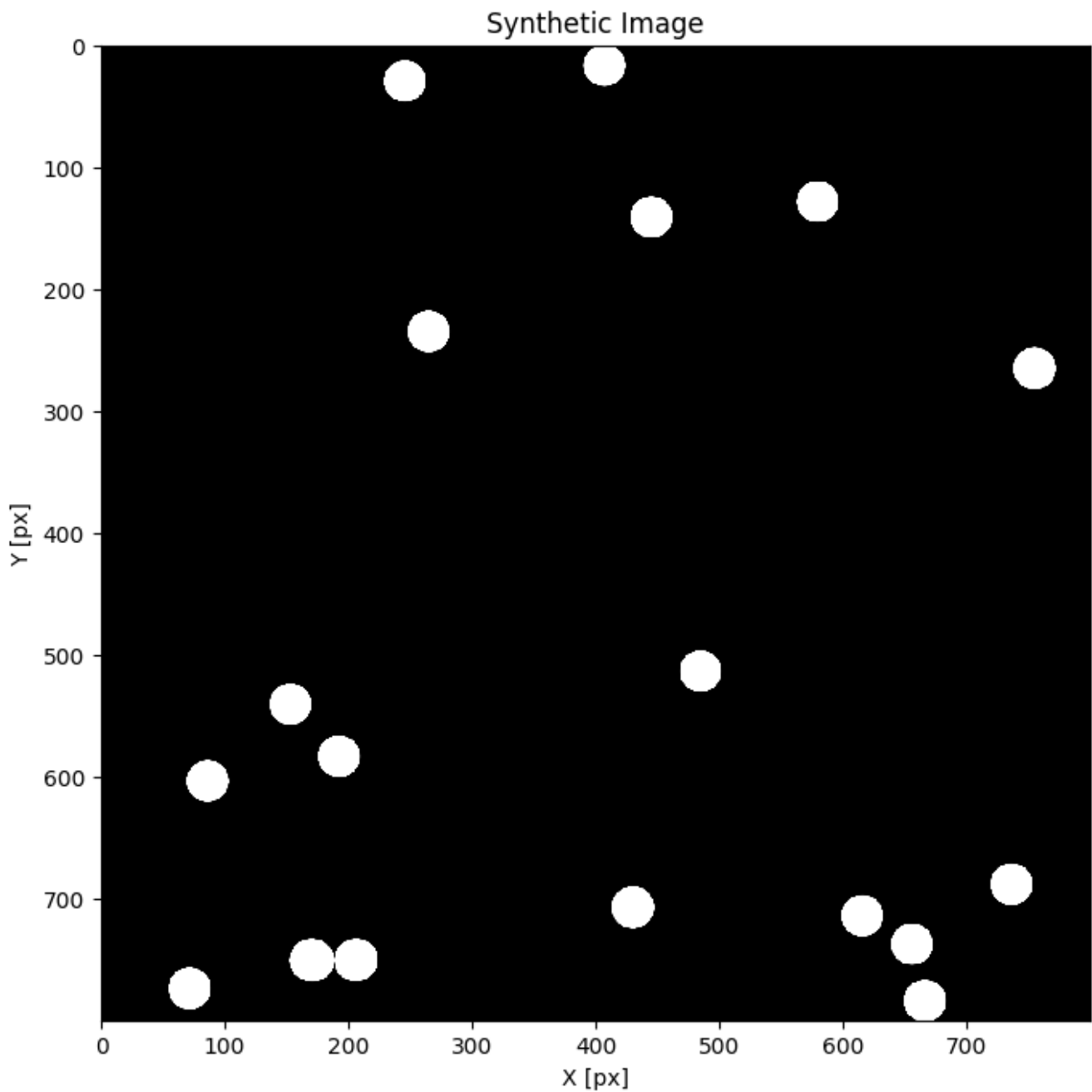


## 4. Fotometría — Histograma de SNR

Distribution of Photometry SNR



## 5. Astrometría — Imagen sintética



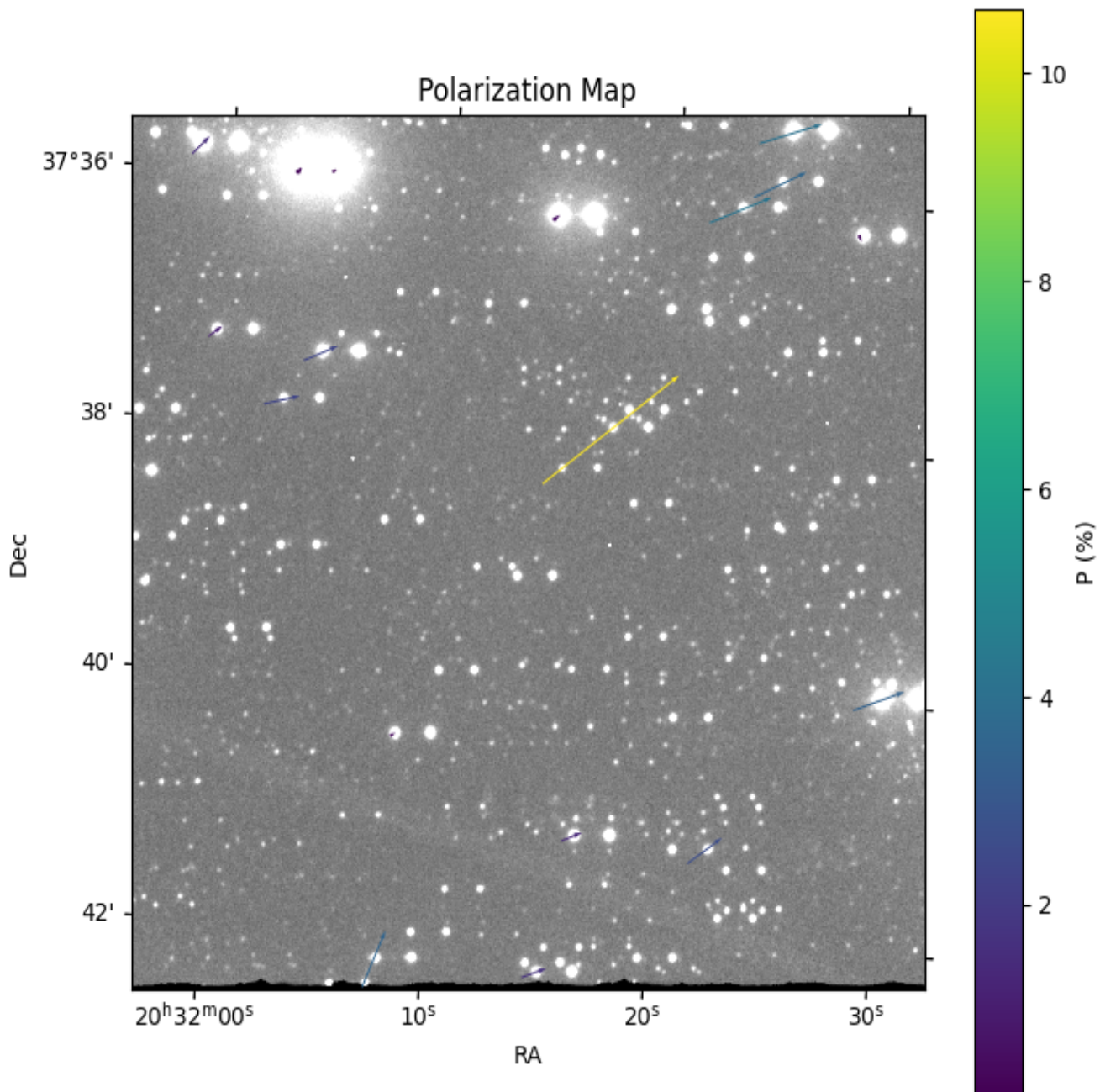
## 5. Astrometría — Resultados SIMBAD

Par	RA (°)	DEC (°)	Simbad ID	Object Type
0	308.063109	37.704857	No_ID	
5	308.033181	37.704198	No_ID	
19	308.093776	37.687260	2MASS J20322097+3741148	LongPeriodV*_Candidate
22	308.068859	37.686418	No_ID	
39	308.034702	37.674108	USNO-B1.0 1276-00508569	Star
44	308.124782	37.665995	No_ID	
84	308.072522	37.631794	V* V2246 Cyg	HighMassXBin
91	308.011164	37.630367	No_ID	
99	308.017996	37.623831	Gaia DR3 2063801505937478656	EclBin
102	307.998264	37.621691	2MASS J20315963+3737177	EmLine*
113	308.117149	37.604353	No_ID	
115	308.060583	37.603924	TYC 3153-950-1	Star
117	308.094695	37.601505	IRAS 20304+3725	Infrared
121	308.101860	37.597795	No_ID	
122	308.012368	37.599651	TYC 3153-612-1	Star
123	308.012368	37.599651	TYC 3153-612-1	Star
124	308.019003	37.599379	TYC 3153-612-1	Star
125	308.019003	37.599379	TYC 3153-612-1	Star
126	308.019003	37.599379	TYC 3153-612-1	Star
127	308.012284	37.599584	TYC 3153-612-1	Star
128	308.012534	37.599567	TYC 3153-612-1	Star
129	308.012534	37.599567	TYC 3153-612-1	Star
130	308.018919	37.599311	TYC 3153-612-1	Star
136	307.994000	37.596972	TYC 3153-6-1	Star
138	308.103340	37.590923	No_ID	

## 6. Polarimetría — Estimación Interestelar (ISM)

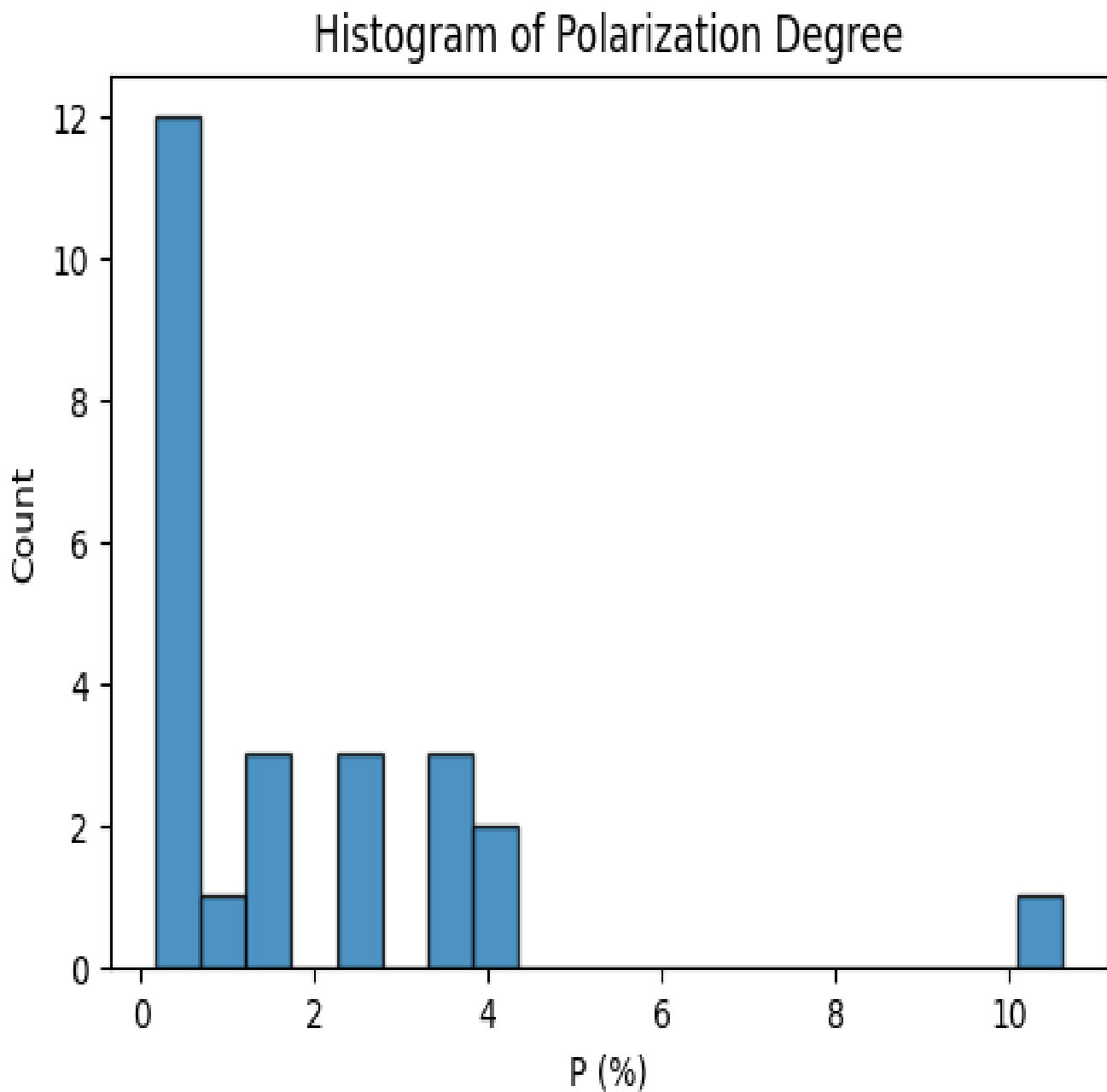
Comp.	Q mean	Q $\sigma$	Q weight	U mean	U $\sigma$	U weight	Dominante Q	Dominante U
0	2.856	0.558	0.24	10.059	0.001	0.04		
1	0.208	0.804	0.76	1.012	0.932	0.96	✓	✓

## 6. Polarimetría — Mapa de polarización



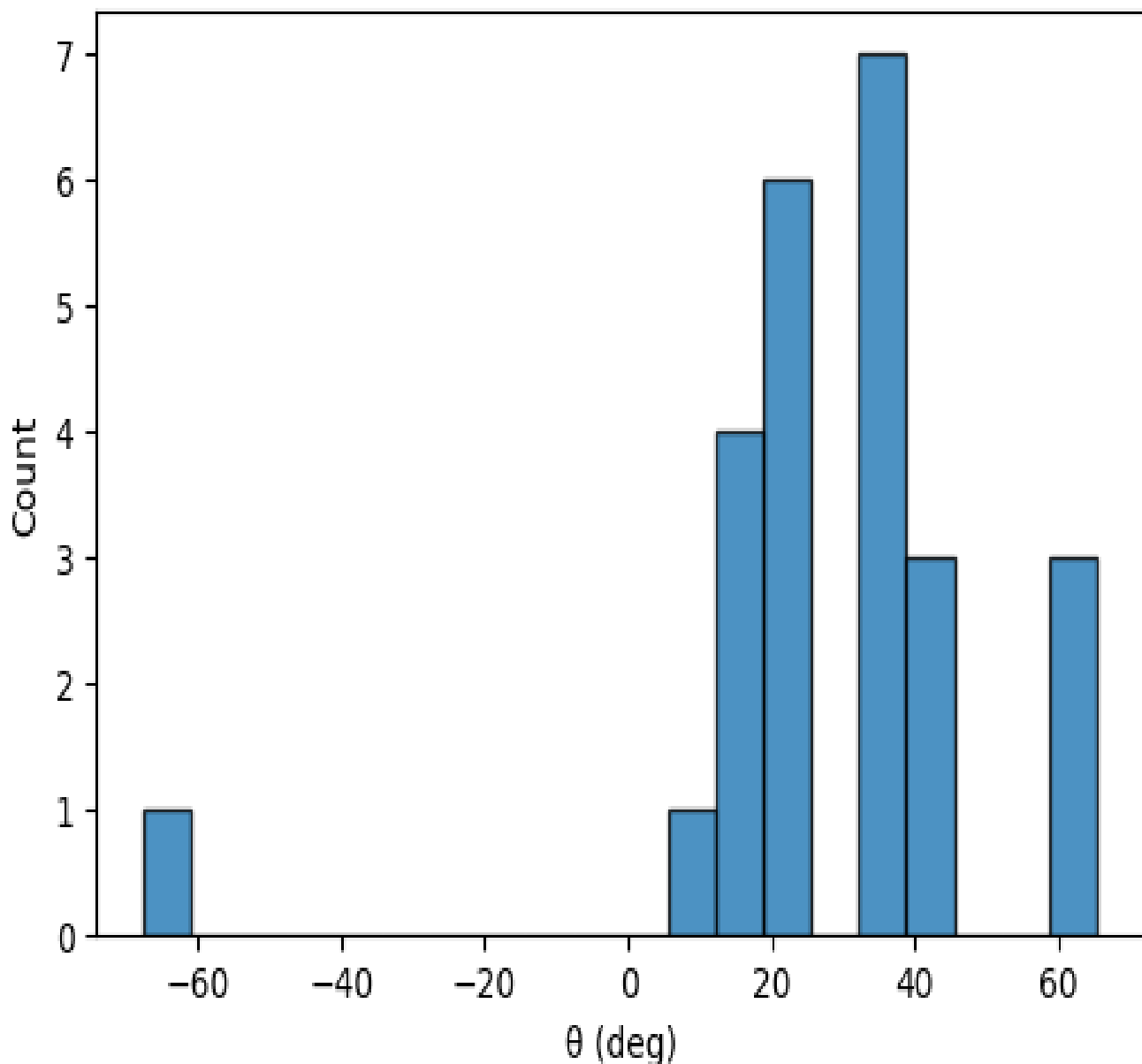


## 6. Polarimetría — Histograma de P

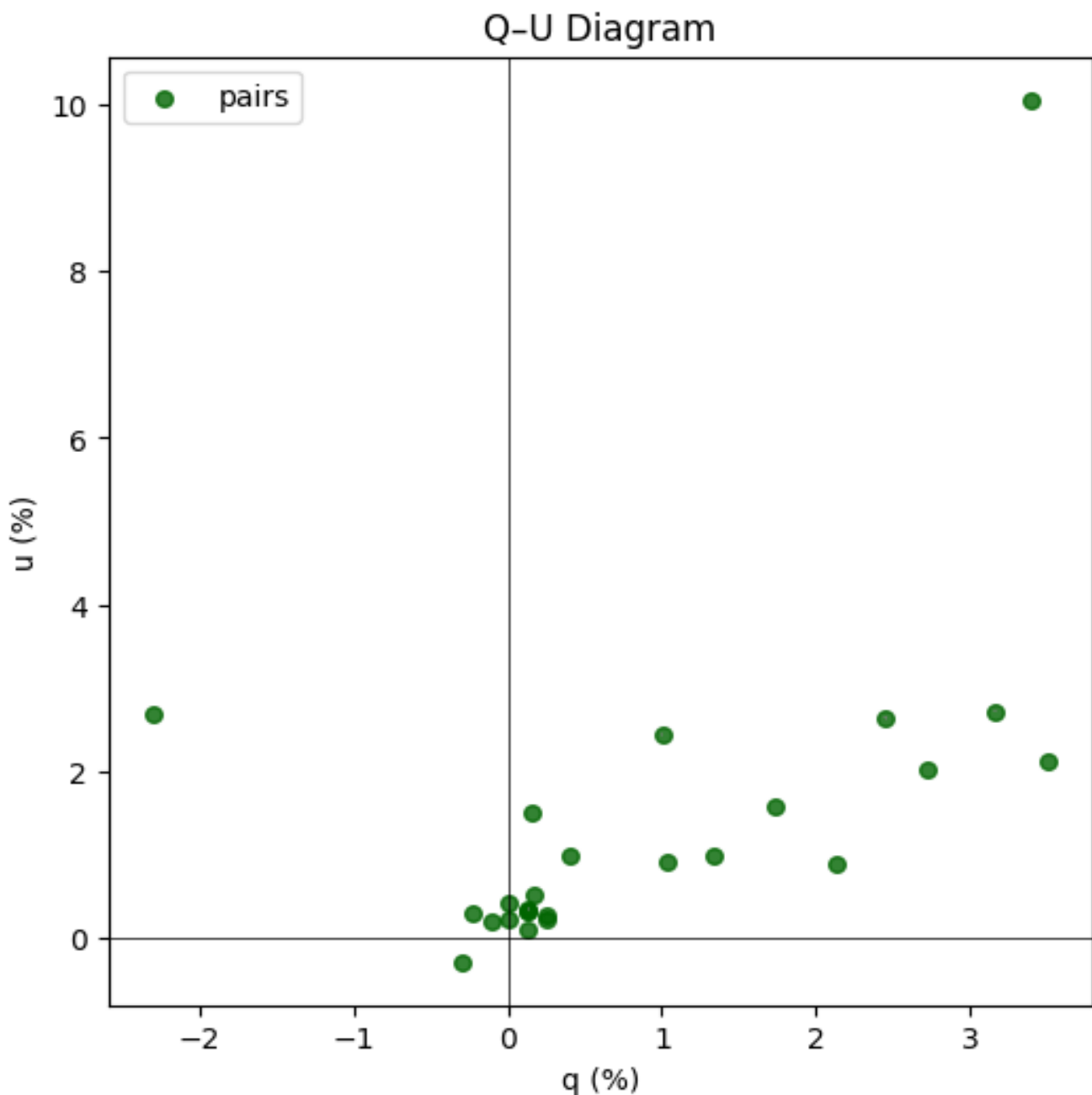


## 6. Polarimetría — Histograma de $\theta$

Histogram of Polarization Angle



## 6. Polarimetría — Diagrama Q–U



## 6. Polarimetría — Estimación Interestelar (ISM)

Comp.	Q mean	Q σ	Q weight	U mean	U σ	U weight	Dom Q	Dom U
0	2.856	0.558	0.24	10.059	0.001	0.04		
1	0.208	0.804	0.76	1.012	0.932	0.96	✓	✓

### Explicación de columnas:

**Q Means:** medias de la componente q estimada para la polarización interestelar.

**Q sigmas:** desviaciones estándar ( $\sigma$ ) de los componentes gaussianos ajustados a q.

**Q weights:** pesos relativos de cada componente gaussiano en la mezcla de q.

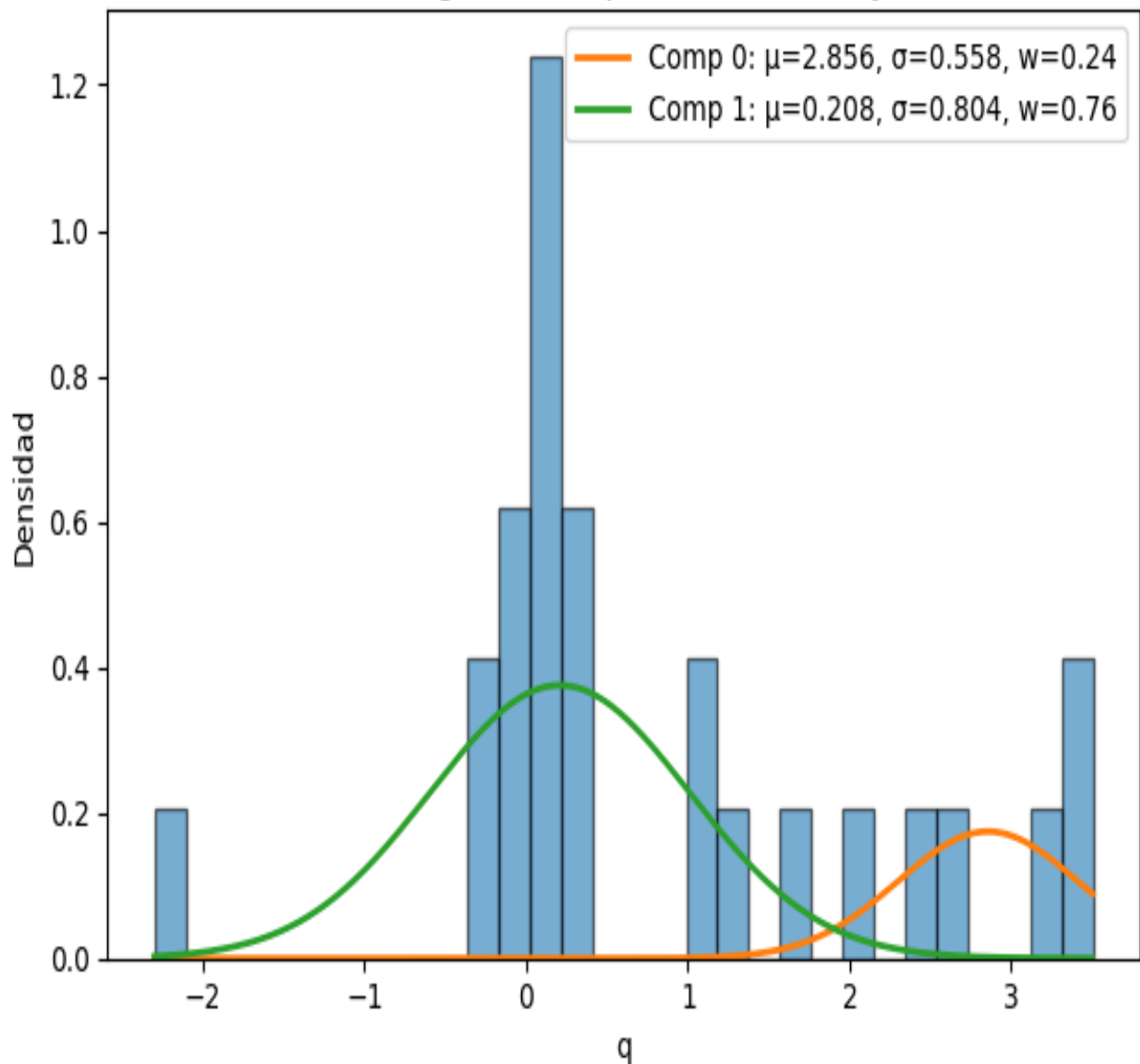
**U Means:** medias de la componente u estimada para la polarización interestelar.

**U sigmas:** desviaciones estándar ( $\sigma$ ) de los componentes gaussianos ajustados a u.

**U weights:** pesos relativos de cada componente gaussiano en la mezcla de u.

## 6. Polarimetría — Estimación ISM Q

### Histograma de $q$ con GMM overlay



## 6. Polarimetría — Estimacion ISM U

